# ハロゲン化物をベースとしたイオン伝導体探索と伝導機構

日大生産工(院) 〇村山 駿 日大生産工 山根 庸平 日大生産工 山田 康治

#### 1 緒言

近年、軽量かつ大容量のエネルギーデバイスとしてリチウム二次電池は日常生活でよく使われている。しかし、電解液に可燃性の有機溶媒を用いるため、安全性の問題点が指摘されており、電解質の改善が求められている。そこで、発火、漏液の心配がない不燃性の無機固体電解質がこれらの電解質として期待される。無機固体電解質は格子欠陥を介してイオンが高速で移動することができるイオン伝導性固体である。

 $Li^{+}$ 及び $In^{3+}$ のイオン半径は共に近く、置換型の固溶体を形成しやすいと考えられる。本研究室ではこの考えに基づきハロゲン化物を用いた固体電解質  $Li_{3}InBr_{6}$  及び、 $LiInBr_{4}$  を報告してきた。これらは岩塩型構造のハロゲン化リチウムに $In^{3+}$ を固溶させることで、 $Fig.\ 1$  のように空格子点を形成しイオン伝導度の向上を図っている。一般的な組成式は $Li_{1-x}In_{x/3}Br$ となり、x=0.5 ( $Li_{3}InBr_{6}$ )とx=0.75 ( $LiInBr_{4}$ ) で定組成化合物となる。

本研究では $Li_{1-x}In_{x/3}Br$ におけるx=0.5,0.75 以外の組成 (x=0.1,0.25,0.4,0.6) の固溶体を含めた合成を試み、この系でのより高いイオン伝導度を持つ固体電解質の探索を行った。さらに、この系のアニオン副格子に分極率の高い $\Gamma$ を固溶することでカチオンの伝導度増加を試みた。

また、本研究室ではLi<sup>+</sup>伝導体以外にも、Na<sup>+</sup> 伝導体NaInBr<sub>4</sub>についての報告もしてきた。これ は、LiInBr<sub>4</sub> と同系列の化合物で単結晶が育 成できる。本研究ではNaInBr<sub>4</sub>の単結晶を育成 し、その<sup>23</sup>Na NMRを測定することで、NaInBr<sub>4</sub> の伝導機構について考察した。

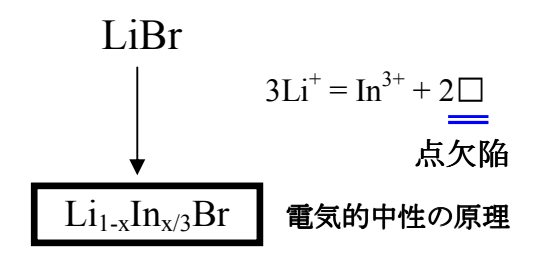


Fig. 1. In<sup>3+</sup> の固溶による欠陥生成

### 2 実験方法および測定方法

試料の合成には固相反応法を用いた。また、本研究で用いた各原料LiX (X = Br, I), NaBrは減圧下250℃で加熱、脱水したものを使用した。InBr₃はブリッジマン法によって単結晶として精製した試料を原料として用いた。固相反応では精製した原料をボールミルで混合 (450rpm、2時間)した後、ガラス管に封管し電気炉で約180℃で焼成した。

得られたそれぞれの試料は粉末X線回折により同定し、Rietveld解析でそれらの構造を決定した。イオン導電率は複素インピーダンス法により決定した。またイオンの運動性の比較や伝導機構の解明のために、単結晶および粉末を用いた $^{7}$ Li,  $^{23}$ Na NMRの測定を行った。本実験における原料、試料は強い吸湿性をもつため、原料の混合及び測定試料の調製など全ての操作を水分約10ppm以下のグローブボックス内で行い、測定前には420Kで吸引加熱を行った。

Searching ionic conductors based on halide and their conduction mechanism

Shun MURAYAMA, Yohei YAMANE and Koji YAMADA

### 3 実験結果および考察

粉末X線回折及びRietveld解析の結果、 $Li_{1-x}In_{x/3}Br$ のx=0.1においては固溶体ではなくLiBr (86%)とx=0.5 (14%)の混合物であることがわかった。さらに $InBr_3$ の導入量を増やしたx=0.25においてもLiBr (51%)とx=0.5 (49%)の混合物となった。x=0.4, 0.6では、x=0.5とx=0.75とx=0.75とx=0.75とx=0.75とx=0.75とx=0.75とx=0.75とx=0.75とx=0.75とx=0.75とx=0.75とx=0.75の組成のみ安定した構造をとることがわかった。また、伝導度においては x=0.75は伝導度には大きな変化が見られなかった。x=0.0, 0.5, 0.75 の伝導の活性化エネルギーはそれぞれ51.9 kJ x=0.76.0 kJ x=0.76.9 kJ x=0.1においてはx=0.76.9 kJ x=0.1においてはx=0.1においてはx=0.76.9 kJ x=0.1においてはx=0.1においてはx=0.76.0 kJ x=0.1においてはx=0.76.9 kJ x=0.1においてはx=0.1においてはx=0.76.0 kJ x=0.1においてはx=0.76.0 kJ x=0.1においてはx=0.1においてはx=0.76.0 kJ x=0.1においてはx=0.1においてはx=0.76.0 kJ x=0.1においてはx=0.1においてx=0.

伝導度の増加を示したx=0.5に対して分極率 の高い「の固溶を試みた。組成式はLi<sub>3</sub>InBr<sub>6-v</sub>I<sub>v</sub> となり固溶限界はv=0.3付近であった。格子定数 はy=0.1からy=0.3 まで、固溶量の増加に伴って 増加した。イオン伝導度はy=0.1, 0.3 で増加し、 y=0.1 では室温において一桁程増加した。 v=0.1.0.3 の伝導の活性化エネルギーはそれぞ れ67.3 kJ mol<sup>-1</sup>, 86.5 kJ mol<sup>-1</sup>となり、y=0.1では活 性化エネルギーが減少し、y=0.3では増加した。 イオン伝導度の増加は、格子定数の増加により イオンの拡散経路が拡大したことと、アニオン副 格子に分極率の高いΓを固溶することによってカ チオンの拡散が促進されたことによるものと考え られる。これらのイオン伝導度をFig. 2に示す。ま た、これらのイオン伝導度の上昇は<sup>7</sup>Li NMRスペ クトルの温度上昇に伴う尖鋭化の違いからも確 認できた。

一方、NaInBr4の構造はLiInBr4とは異なり孤 立したInBr<sub>4</sub>・アニオンとNa<sup>+</sup>から構成されている。 Na<sup>+</sup>は結晶学的に等価であるが、斜方晶系であ るため4つの異なった方向の電場勾配テンソルを もつ。そのため、核スピンI=3/2の単結晶 <sup>23</sup>Na NMRのスペクトルは四極子効果により、4組 の3:4:3の重ね合わせとなる。Fig. 3には中心線 に対して低周波側の4本のサイドバンドの温度変 化を示す。Fig. 3では室温付近で4本のサイドバ ンドが見られるが、450K付近では1本となるのが 確認できる。これは、温度の上昇に伴って外部 磁場に対してそれぞれ異なった方向を示してい た電場勾配テンソルが、1つの方向に融合したこ とを示している。これらのことは、450K付近では4 つの等価なサイト間でNa<sup>+</sup>の位置の交換が起こっ ていることを示唆している。

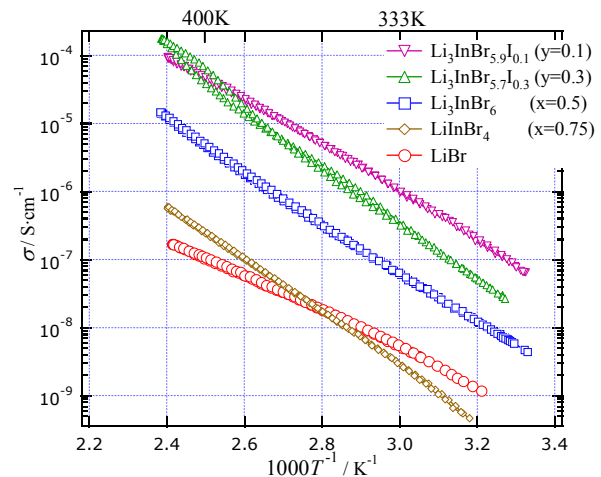


Fig. 2. Li<sub>1-x</sub>In<sub>x/3</sub>Br (x=0, 0.5, 0.75)と Li<sub>3</sub>InBr<sub>6-y</sub>I<sub>y</sub> (y=0.1, 0.3)の温度変化に 伴うイオン伝導度

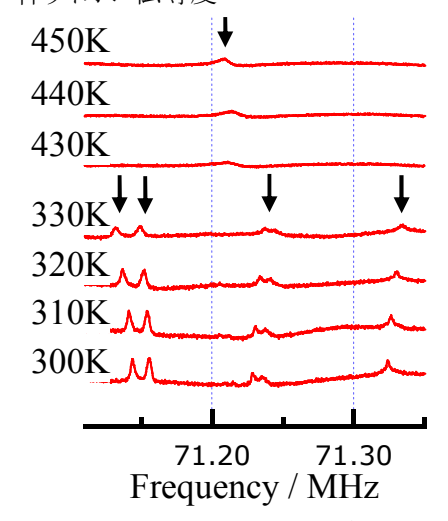


Fig. 3. 単結晶 NaInBr<sub>4</sub>の温度変化に伴う <sup>23</sup>Na NMR スペクトル

#### 4 まとめ

臭化リチウムにIn³+を固溶させたLi<sub>1-x</sub>In<sub>x/3</sub>BrではLi<sup>+</sup>及びIn³+のイオン半径が近く、置換型の固溶体を形成しやすいにもかかわらず、x=0.5, 0.75の組成のみ安定した構造をとることがわかった。また、イオン伝導度はLiBrと比べてx=0.5 (Li<sub>3</sub>InBr<sub>6</sub>)で増加を示した。このLi<sub>3</sub>InBr<sub>6</sub>に分極率の高いIを固溶することによってイオン伝導度をさらに増加させることができた。

一方、 $LiInBr_4$ と同系列の化合物で単結晶が 育成できる $NaInBr_4$ では、その単結晶を用いた  $^{23}Na~NMR$ から、450K付近で4つの等価なサイト 間で $Na^+$ の位置の交換が起こっていることが示唆 された。

## 「参考文献」

- 1) K. Yamada, K. Kumano and T. Okuda, *Solid State Ionics*, 177 (2006) 1691.
- 2) K. Yamada, S. Matsuyama, Y. Tomita, and Y. Yamane, *Solid State Ionics*, 189 (2011), 7.